

## İstismar zamanı termocütlərin vəziyyətinin innovativ üsulla qiymətləndirilməsi

N.Ş. İskəndərov

Azərbaycan Dövlət Neft və Sənaye Universiteti

e-mail: nabi.iskandarov@engineer.com

### Инновационная оценка состояния термопар в процессе эксплуатации

Н.Ш. Искандаров

Азербайджанский государственный университет нефти и промышленности

**Ключевые слова:** измерения температуры, термодинамическая температура, термоэлектрический преобразователь, термопара, метрология, погрешность.

Temperatura – одна из важнейших характеристик, определяющая и влияющая на весь цикл технологического процесса. Она имеет ряд принципиальных особенностей, которые обуславливают необходимость использования большого количества методов и приемов для её измерения. С этой точки зрения о температуре можно судить по изменению ряда физических свойств объектов (объема, давления, термоЭДС, электрического сопротивления и др.). Измерение температуры используется в системах контроля и управления оборудованием, а также при повышении качества технологических процессов на различных промышленных предприятиях, при этом особое внимание уделяется точности измерений. В исследовании рассмотрена оценка состояния термопар при выполнении операций производственного процесса. На основе вышеизложенной инновационной схемы определены математические аспекты термодинамического измерения температуры термоэлектрического преобразователя и разработан алгоритм. Описаны алгоритмы оценки состояния термоэлектрических преобразователей в активной фазе исследования с использованием частных производных термоэлектрических силовых спаев, причем предложено проведение этого инновационного процесса на основе схемы параметра метрологического состояния "d".

### Innovative estimation of state of thermocouples in operation process

N.Sh. Iskenderov

Azerbaijan State University of Oil and Industry

**Keywords:** temperature measurement, thermodynamic temperature, thermoelectric converter, thermocouple, metrology, error.

The temperature is one of the most significant characteristics specifying and affecting the whole cycle of technological process. It has a number of principle features, which justify the necessity of using numerous methods and ways of measurement. From this point of view temperature may be reviewed by the changes of some physical properties of the objects (volume, pressure, thermoEMF, electric resistance etc.). The temperature measurement is applied in the systems of control and management, as well as while improving the quality of technological processes in various industrial enterprises, when specific attention is paid to the accuracy of measurements. The study reviews the estimation of the state of thermocouples while conducting industrial process. Mathematical aspects of thermodynamic measurement of temperature of thermoelectric converters have been defined and an algorithm developed based on the mentioned above innovative scheme. The algorithms of estimation of the state of thermoelectric converters in the active phase of the research using private derivatives of thermoelectric force junctions are shown. The innovative process is recommended to conduct based on the scheme of "d" parameter of metrological state.

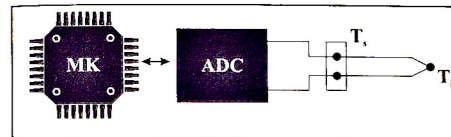
Termoelektrik çeviricilər və onların həssas elementi olan termocütlər həyata keçirilən texnoloji proseslər zamanı yüksək temperaturun unikal və geniş diapazon intervalında ölçülməsi imkanlarına görə geniş istifadə olunur. Termocütlər

termoelektrik effekti nəticəsində termodinamik temperaturdan asılı olan gərginlik hasil edir və bu gərginlik də temperaturun ölçülməsində geniş istifadə edilir. Aparılmış tədqiqat işi zamanı termoelektrik çeviriciyə əsaslanan şərti termometr sxemi

nəzərdən keçirilir, iki termoelektrik çeviricisi olan sxem təklif olunur və istismar zamanı bu sxemlərin vəziyyətini qiymətləndirmək üçün mümkün variantlar nəzərdən keçirilir.

### Ənənəvi ölçmə sxemi üçün termoelektrik çeviricinin vəziyyətinin qiymətləndirilməsi

Termoelektrik çeviriciyə əsaslanan termometrin ölçülməsi üçün sadələşdirilmiş və ümumi qəbul edilmiş funksional sxem şəkil 1-də verilmişdir. Burada MK – mikrokontroller, ADC analog-rəqəmsal çevirici,  $T_i$ ,  $T_s$  – isti və soyuq keçidlərin temperaturlarıdır (ölçülən temperatur) [1].



Şəkil 1. Termometrin funksional sxemi

Həyata keçirilən texnoloji proseslərdə istismar zamanı termocütün soyuq qovşağı ya termal sabitləşməyə məruz qalır, ya da onun temperaturu ayrı bir termal çevirici ilə ölçülür. Bu zaman termocüt də yaranan elektrik hərəkət qüvvəsi (EHQ) qovşaların təmas nöqtəsindəki potensiallara fərqinə bərabər olur [2]:

$$e(T_i, T_s) = e_i(T_i) - e_s(T_s), \quad (1)$$

burada  $e$  – termocütün termoEHQ-si;  $e_i$  – isti qovşaqın termoEHQ-si;  $e_s$  – soyuq qovşaqın termoEHQ-sidir.

$e(T)$  asılılıqları IEC 60584-1:2013 standartı tərəfindən müəyyən edilir.  $e_i(T)$  və  $e_s(T)$  funksiyalarının forması eynidir, onlar müstəqil  $T_i$  və  $T_s$  arqumentlərində fərqlənirlər. Temperatur ölçmə diapazonunda  $e(T)$  termoEHQ-si IEC 60584-1:2013 standartında qeyd edilmiş güclü polinomları ilə təmsil olunan, kəsilmə nöqtələri olmayan bir dəyişənin müəyyən, davamlı, məhdud və monoton artan funksiyalarıdır. Bu,  $T_i$ -ə görə (1) tənliyini ən sada ədədi üsullarla effektiv şəkildə həll etməyə imkan verir.  $e$ ,  $T_s$  dəyərlərini ölçməklə və onları (1) düsturu ilə əvəz etməklə, istanılən  $T_i$  temperaturu hesablanıla bilər. Bir qayda olaraq  $e(T)$  dərəcəsi 6-dan böyük olan çoxhədlidir, ona görə də (1) tənliyi ədədi üsullarla həll edilir [3].

Aparılan ölçmələr zamanı ən vacib məsələlərdən biri parametrlərin sürüşməsi və ya sensorun nasazlığının baş verməsi ilə müəyyən edilən əməliyyat zamanı istilik çeviricilərinin vəziyyətini qiymətləndirməkdir. Bu halda vəziyyətin qiymətləndirilməsi (1) tənliyinə əlavə olaraq, isti

və soyuq qovşaqların temperaturu ilə əlaqədar termoEHQ-nin qismən törəmələrinə əsaslanan termoelektrik çeviricinin fiziki əməmiyyətlərinin əlaqə tənliyini təqdim etməklə mümkündür. Qeyd edilmiş vəziyyətdə  $e(T_i, T_s)$  funksiyasının artımı aşağıdakı kimi yazılı bilər:

$$\Delta e \approx \frac{\partial e}{\partial T_i} \Delta T_i + \frac{\partial e}{\partial T_s} \Delta T_s. \quad (2)$$

Yerinə yetirilən her bir ölçmədə  $T_i$  və  $T_s$ -in cari dəyərlərini ölçüdən sonra, i-ci ölçü əvvəlki ölçmələrdən eyni isti qovşaq temperaturu ilə seçilir:

$$T_i = T_{ii}. \quad (3)$$

Aparılan ölçmələr zamanı temperaturun hesablanması üçün mikrokompyuterdən istifadə edildiyi və bütün ölçmə məlumatları RAM-da saxlandığı üçün (3) tənliyinin yüksək dəqiqliyini təmin edən əvvəlki ölçməni tapmaq mümkündür. Bu halda cərəyanın soyuq qovşaqlarının temperaturu və (3) düsturuna uyğun olaraq seçilmiş dəyərin üst-üstə düşməməli olduğuna diqqət yetirmək lazımdır:

$$\Delta T_s = T_s - T_{si} \neq 0. \quad (4)$$

(3) və (4) düsturlarını (2) düsturunda nəzərə alsaq aşağıdakı ifadə əldə edilir:

$$\frac{\partial e}{\partial T_x} \approx \frac{\partial e}{\partial T_s}. \quad (5)$$

Törəmənin qiyməti  $T_{so}$  nöqtəsində –  $T_s$  və  $T_{si}$  arasındakı orta nöqtədə hesablamalıq təqribi bərabərliyi (5) dəqiqləşdirmək mümkündür:

$$T_{so} = \frac{T_s + T_{si}}{2}. \quad (6)$$

(6)-ni (5) düsturunda nəzərə alsaq bu zaman aşağıdakı düsturu almış olarıq:

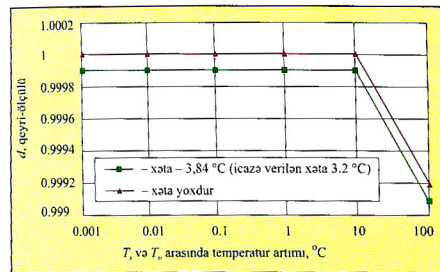
$$\frac{\partial e}{\partial T_s} \approx \left. \frac{\partial e}{\partial T_s} \right|_{T_s=T_{so}}. \quad (7)$$

Ədədi fərqləndirmədəki dəqiqliyi artırmağın bu üsulu, aparılmış tədqiqat işində geniş şəkildə təsvir edilmişdir. Tərtib edilmiş riyazi modelləşdirmə tapşırıq çərçivəsində kifayət qədər səmərəliyini göstərmüşdür.

Bildiyimiz kimi termocütün soyuq qovşaqının temperaturu bir qayda olaraq müqavimət termometrindən istifadə edərək ölçülür və bu işdə təsvir olunan vəziyyəti bununla qiymətləndirmək mümkündür. Buna görə də  $T_s$  temperaturu bu məsələdə doğru istiqamət olaraq nəzərə alınır. Biz (7) düsturuna əsasən,  $d$  metroloji vəziyyətinin parametrimi aşağıdakı kimi təyin edə bilərik:

$$d = \frac{\Delta \varepsilon}{\Delta T_s} \cdot \frac{1}{T_s} \quad (8)$$

(8) düsturunun məxəcəinin qiyməti IEC 60584-1:2013 standartına uyğun olaraq termocüt polinomunun (1) əmsalları ilə müəyyən edilir və eyni tipli bütün termocütler üçün eyni olaraq qalır. Numeratorun dəyəri soyuq qovşaq temperaturu və termoEHQ-nin ölçülülmüş dəyərləri ilə müəyyən edilir. TermoEHQ artımı isə öz növbəsində (1) termocüt polinomlarının real əmsalları ilə təyin olunur. Buna görə də  $d$  parametrinin dəyərinin vahidə yaxınlığı tələb olunan  $T_i$ -nin ölçü xətasının kiçikliyini xarakterizə edir [4].



Şəkil 2. Metroloji parametr  $d$ -nin soyuq qovşaqın temperatur artımından asılılığı

Şəkil 2-də  $K$  tipli termocüt (xromel – alumel) üçün  $d$  parametrinin soyuq qovşaq temperaturunun artımından asılılıqları göstərilir. Ölçmə zamanı yaranan nasazlı vahid riyazi gözlənti və əmsalın dəyərinə mütənasib olaraq  $10^{-6}$ -ya bərabər olan RMS ilə  $\varepsilon(T)$  polinomunun bütün əmsallarının normal qanununa uyğun olaraq təsadüfi bir icra tətbiqinən seçilməsi ilə simulyasiya edilir. Həqiqi temperatur xətasının dəyərinin IEC 60584-1:2013 standartına uyğun olaraq icazə verilən xəta ilə mütənasib olduğu qıymət təsadüfi olaraq seçilir.  $d$  metroloji vəziyyətin parametrinin təxminini qiyməti  $T_i = 800^\circ\text{C}$ ,  $T_s = 50^\circ\text{C}$  həqiqi temperaturlarda hesablanır.

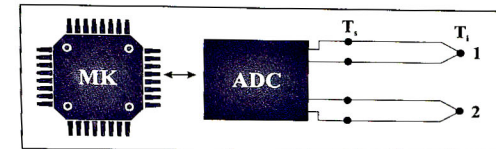
Şəkil 2-dən göründüyü kimi,  $d$  metroloji vəziyyətinin seçilmiş parametri onlar arasında fərqli  $10^\circ\text{C}$ -dən az olduqda  $T_s$ -nin ölçülülmüş cari dəyəri ilə  $T_i$ -nin seçilmiş dəyəri arasında temperatur artımından praktiki olaraq asılı deyil.

Vəziyyətin qiymətləndiriləsinin təklif olunan versiyası istilik çeviricisinin elektronika blokun-

da daha səmərəli mikrokompiuterdən və yüzlər-lə meqabaya qədər olan əlavə həcmədə operativ yaddaşdan istifadəni tələb edəcəkdir. Hər ölçmə zamanı RAM-a  $\varepsilon_i$  – termoEHQ,  $T_{ii}$ ,  $T_{si}$  – uyğun olaraq isti və soyuq qovşaqların ölçülülmüş temperaturu daxil edilir [5].

İki termocütlü termoelektrik çeviricinin vəziyyətinin qiymətləndirilməsi

İki termocütlü termoelektrik çeviricinin funksional sxemi Şəkil 3-də verilmişdir. Burada 1 və 2 müxtəlif tipli iki termocütür. Termocüt 1-in və 2-ci termocütün isti, eləcə də soyuq qovşaqlarının temperaturu eynidir. Əvvəlki dövrədən fərqli olaraq, burada istilik stabilizasiyası və ya soyuq qovşaqda temperaturun ölçülülməsi tələb olunmur [6].



Şəkil 3. İki termocütlü termoelektrik çeviricinin funksional sxemi

Burada qeyd edilmiş  $T_i$  və  $T_s$  temperaturları aşağıdakı tənliklər sistemindən tapılı bilər:

$$\begin{cases} \varepsilon_1(T_i, T_s) = \varepsilon_{i1}(T_i) - \varepsilon_{s1}(T_s) \\ \varepsilon_2(T_i, T_s) = \varepsilon_{i2}(T_i) - \varepsilon_{s2}(T_s) \end{cases} \quad (9)$$

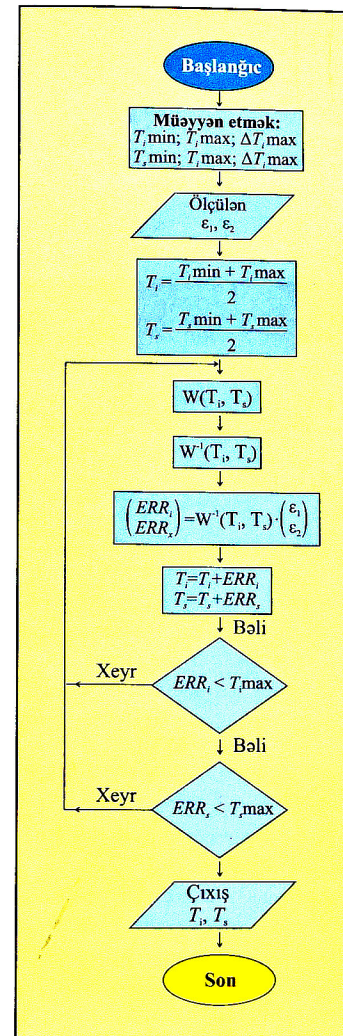
burada  $\varepsilon_1$ ,  $\varepsilon_2$  – 1-ci və 2-ci termocütün termo-EHQ-si;  $\varepsilon_{i1}$ ,  $\varepsilon_{i2}$  – 1-ci və 2-ci termocütürlerin isti qovşaqlarının termoEHQ-ləri;  $\varepsilon_{s1}$ ,  $\varepsilon_{s2}$  – 1-ci və 2-ci termocütürlerin soyuq qovşaqlarının termoEHQ-ləridir. Şübhəsiz ki, (9) tənliklər sisteminin həllinin mümkünlüyü üçün (10) bərabərsizlikləri təmin edilməlidir:

$$\begin{cases} \varepsilon_1(T) \neq \varepsilon_2(T); \\ T_i \neq T_s \end{cases} \quad (10)$$

burada səs-küy və termoEHQ-dən yaranan ölçmə xətalari şəraitində uğurlu ölçmə prosesini həyata keçirmək üçün IEC 60584-1:2013 standartına uyğun olaraq bir-birindən ən çox fərqli asılılıqları olan  $\varepsilon(T)$  termocütü seçmək lazımdır.

Analitik üsulla (9) tənliklər sisteminin  $T_i$  və  $T_s$  həllərini tapmaq mümkünündür. Bu üsul iki dəyişənli iki çoxhədlinin ortaqlı köklərinin tapılması problemini nəticənin (bir dəyişəndə bir çoxhədli) köklərinin tapılmasına qədər azaldır. Bununla belə, IEC 60584-1:2013 standartına uyğun olaraq ənənəvi termocüt növləri üçün (9) ifadəsinə daxil edilmiş

çoxhədilər adətən 8 ilə 12 aralığında çoxhədilər olduğundan, bu halda nəticənin ifadəsi  $16 \times 16$  ilə  $24 \times 24$  arasında dəyişən determinant olacaqdır. Bu determinantın elementləri yenə də 8–12 dərəcə aralığında olmaqla bir dəyişənli çoxhədilər olacaqdır. Şübhəsiz, bu determinantın hesablanması və hətta onun köklərinin geniş diapazonda tapılması (288-ci dərəcəyə qədər polinom) praktikada mümkün deyil. Buna görə də Nyuton üsulu ilə naməlum  $T_i$  və  $T_s$ -i tapmaq daha məqsədə uyğundur. Bu zaman temperaturun hesablanması alqoritmi Şəkil 4-də göstərilən formada həyata keçiriləcəkdir.



Şəkil 4. İki termocütlü termoelektrik çevirici dövrənin temperaturlarının hesablanması alqoritmi

Şəkil 4-də verilən alqoritmdə  $T_i$  min və  $T_i$  max – isti qovşaqın temperatur ölçmə diapazonunun hədləri;  $T_s$  min,  $T_s$  max – soyuq qovşaqın temperatur ölçmə diapazonunun hədləri;  $\Delta T_i$  min,  $\Delta T_i$  max – icazə verilən hesablanmış temperatur xətalari, onların dəyərlərini termometrin ümumi icazə verilən xətasından 1–3 dərəcə dəha az götürməsi tövsiyə edilir;  $\varepsilon_1$ ,  $\varepsilon_2$  – 1-ci və 2-ci termocütürlerdə ölçülülmüş EHQ dəyərləri;  $W(T_i, T_s)$  – Yakobi matrisi:

$$W(T_i, T_s) = \begin{pmatrix} \frac{\partial \varepsilon_1}{\partial T_i} \frac{\partial \varepsilon_2}{\partial T_i} \\ \frac{\partial \varepsilon_1}{\partial T_s} \frac{\partial \varepsilon_2}{\partial T_s} \end{pmatrix} \quad (11)$$

$W^{-1}(T_i, T_s)$  – tərs Yakobi matrisi:

$$W^{-1}(T_i, T_s) = \frac{1}{\det W(T_i, T_s)} \begin{pmatrix} \frac{\partial \varepsilon_1}{\partial T_s} \frac{\partial \varepsilon_2}{\partial T_s} \\ \frac{\partial \varepsilon_1}{\partial T_i} \frac{\partial \varepsilon_2}{\partial T_i} \end{pmatrix}, \quad (12)$$

burada  $\det W(T_i, T_s)$  – (11)-dən tapılan matrisin determinantı (11);  $ERR_i$  və  $ERR_s$  – müvafiq olaraq isti və soyuq qovşaq temperaturunun correksiyasıdır.

Nəzərə alınan termoelektrik çeviricinin vəziyyətinin qiymətləndirilməsi məsələsini metroloji vəziyyətin  $d$  əlavə parametrini daxil etməklə həll etmək olar. Vəziyyətin qiymətləndirilməsi istilik çeviricisinin iş modelinə termocütürən termoelektrik gücün qismən törəmələrinin asılılıqlarının daxil edilməsi və istilik çeviricisinin fiziki parametrlerinin qoşulması üçün əlavə tənlik verilməsi əsasında mümkündür. Biz bu zaman innovativ  $d$  metroloji hal parametrini əldə edirik.

Əvvəlki ölçmələrdən əldə edilən mövcud dəyərləri və  $T_s$ -i ölçüldükdən sonra, 1-ci ölçü tam olaraq eyni soyuq qovşaq temperaturu ilə seçilir.

$$T_s = T_{si} \quad (13)$$

Bu zaman temperaturu hesablamaq üçün mikrokompiuterdə istifadə olunduğuundan və bütün ölçmə məlumatları RAM-da saxlandığından (13) tənliyini təmin edən əvvəlki ölçməni yüksək dəqiqliklə tapmaq mümkünür. Bu halda, cərəyanın isti qovşaqlarının temperaturunu və (13) düsturu üzrə seçilmiş ölçülər üst-üstə düşməməlidir [7]:

$$\Delta T_i = T_i - T_{ii} \neq 0 \quad (14)$$

Beləliklə, (13) və (14) düsturları nəzərə alınmaqla, termocütürən hər biri üçün (2) düsturu aşağıdakı kimi yazıla bilər:

$$\frac{\Delta \varepsilon_1}{\Delta T} \approx \frac{\vartheta \varepsilon_1}{\vartheta T}, \quad (15)$$

$$\frac{\Delta \varepsilon_2}{\Delta T_i} \approx \frac{\vartheta \varepsilon_2}{\vartheta T_i}. \quad (16)$$

Termocütlərin termoelektrik gücünün artımlarının nisbatını nəzərdən keçirdikdə onu aşağıdakılardan təqdim edə bilərik [8]:

$$\frac{\Delta \varepsilon_i}{\Delta \varepsilon_1} = \frac{\frac{\Delta \varepsilon_1}{\Delta T_1}}{\frac{\Delta \varepsilon_2}{\Delta T_2}} \approx \frac{\frac{\vartheta \varepsilon_1}{\vartheta T_1}}{\frac{\vartheta \varepsilon_2}{\vartheta T_2}} \cong \frac{\frac{\vartheta \varepsilon_1}{\vartheta T_1}}{\frac{\vartheta \varepsilon_2}{\vartheta T_2}} \quad , \quad (17)$$

burada, termoEHQ ve temperatur artımları onlarıncı ve seçilmiş i-ci ölçü arasındaki fərqlər kimini başa düşülür və  $T_{io}$  (6) ifadəsinə bənzər şəkildə müəyyən edilir:

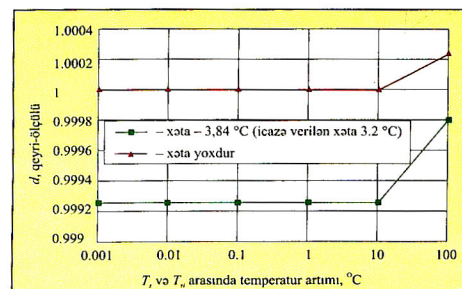
$$T_{\text{io}} = \frac{T_i + T_{ii}}{2}. \quad (18)$$

Bu zaman (17) düsturuna əsaslanaraq, (8) düsturundakı kimi *d* metroloji vəziyyətinin aşağıdakı meyarını təqdim edə bilərik:

$$d = \frac{\Delta \varepsilon_1}{\left( \frac{\Delta \varepsilon_1}{\Delta T_i} \right)} \quad . \quad (19)$$

(19) düsturunun məxrəciniñ qiyməti IEC 60584-1:2013 standartına uyğun olaraq (9) tənliyinin termocüt polinomlarının nominal əmsalları ilə müəyyən edilir və eyni tipli bütün termocütlər üçün eynidir. Bu zaman paylayıcının qiyməti (9) tənliyinin termocüt polinomlarının real əmsalları ilə müəyyən edilir. Buna görə də  $d$  parametrinin qiymətinin vahida yaxınlığı axtarılan qiymətin əlavə xətasının kiçikliyi xarakterizə edir.

**Səkil 5-də** termocüt parametrlərinin sürüşməsinin olması və olmaması halında  $K$  (xromel – alumel) və  $L$  (xromel – kopel) tipli termocütlər üçün  $d$  metroloji vəziyyətin meyarının soyuq qoşağın temperatur artımından asılılığı göstərilir. Bu zaman yaranmış xəta əmsalın dəyərinə mütənasib olaraq vahid gözlənti və RMS  $10^{-6}$ -va bərabər olan  $\varepsilon_c(T)$  və  $\varepsilon_e(T)$  poli-



**Şəkil 5. d metroloji vəziyyət parametrinin isti qovşağıının temperatur artımından asılılığı**

nomlarının bütün əmsalları üçün təsadüfi qiyaməti secməklə simulyasiya edilir [9].

Yerinə yetirilmiş tədqiqat işi zamanı həqiqi temperatur xətasının dəyərinin IEC 60584-1:2013 standartına uyğun olaraq icazə verilən xətaya uyğun olduğu təsadüfi bir tətbiq seçildi. Daha sonra  $d$  metroloji vəziyyət parametri  $T_i = 800^\circ\text{C}$ ,  $T_s = 50^\circ\text{C}$  həqiqi temperaturlarda hesablandı.

Şəkil 5-dən göründüyü kimi, hesablanmış d metroloji vəziyyətinin seçilmiş parametri, onların arasındaki fərq  $10^{\circ}\text{C}$ -dən az olduqda ölçülən cərəyan dəyəri ilə seçilmiş dəyər  $T_{ii}$  arasındaki temperatur artımından praktiki olaraq asılı deyil. Bu zaman iki termocütlü termoelektrik çevirici sxemin təklif olunan variantı əlavə olaraq daha səmərəli mikrokompyuterdən və yüzlərlə meqabaytlı vəziyyətin qiymətləndiriləsi üçün əlavə həcmədə operativ yaddaşdan istifadəni tələb edəcəkdir. Bu zaman hər i-ci ölçmə zamanı RAM-a  $\varepsilon_{ii} - 1$ -ci termocütün termo-EHQ-si;  $\varepsilon_{2i} - 2$ -ci termocütün termoEHQ-si;  $T_{ii}$ ;  $T_{si}$  – ölçülülmüş isti və soyuq qovşaq temperaturları daxil ediləcəkdir [10].

Notice

Məqalədə termocüt qovşaqlarının temperaturlarından termoelektrik enerjinin qismən törəmələrinin istifadəsinə əsaslanan təklif olunan riyazi modelin tətbiqilə termocütlərin vəziyyəti haqqında əlavə məlumatların işlənilməsi yolu ilə istismar zamanı termoelektrik çeviricinin vəziyyətinin qiymətləndirilməsinin mümkünlüyü göstərilmişdir. Aparılmış tədqiqatlar zamanı müəyyənləşdirilmişdir ki, *d* metroloji

vəziyyətinin seçilmiş parametri, onların arasındakı fərq  $10^{\circ}\text{C}$ -dən az olduqda ölçülən cərəyan

dəyəri ilə seçilmiş dəyər  $T_{ii}$  arasındaki temperatur artımından praktiki olaraq asılı deyil.

## Ədəbiyyat siyahısı

1. İsgəndərzadə E.B., Aslanov Z.Y. Ölçmə və nəzarət üsulları və vasitələri. – Bakı: Vektor, 2017, s. 176.
  2. Fərzanə N.Q., İlyasov L.V., Əzim-zadə AY. Texnoloji ölçmələr və cihazlar. –M., 1989, s. 135.
  3. Самарский А.А. Численные методы: учеб. пособие для вузов. – М.: Наука, 1989, 432 с.
  4. IEC 60584-1:2013 Thermocouples – Part 1: EMF specifications and tolerances, pp. 6-8.
  5. Олейник Б.Н., Лаздина С.И., Лаздин В.П., Жагулло О.М. Приборы и методы температурных измерений. – Изд-во стандартов, 1987, 296 с.
  6. Thomas D. McGee – Principles and Methods of Temperature Measurement, John Wiley & Sons, 2014, p. 195.
  7. Michalski L., Eckersdorf K., Kurcharski J., McGhee J. Temperature measurement, John Wiley & Sons, 2001, 16.
  8. Grazia Lamanna, Christoph Steinhausen. On the Importance of Kinetic Effects in the Modelling of Droplet Evaporation at High Pressure and Temperature Conditions. 2020, p. 272.
  9. Robert F. Speyer (2012). Thermal Analysis of Materials. Materials Engineering, 2007, p. 8.
  10. Thomas W. Leland, Jr., G.A. Mansoori (ed.). Basic Principles of Classical and Statistical Thermodynamics, 2005, 45.

## References

1. *Isgenderzade E.B., Aslanov Z.Y. Olchime ve nezaret usullary ve vasiteleri.* – Baki: Vektor, 2017, s. 176.
  2. *Ferzane N.G., Ilyasov L.V., Azim-zade A.Y. Tekhnolozhi olchmeler ve jihazlar.* – M., 1989, s. 135.
  3. *Samarskiy A.A. Chislennye metody: ucheb. posobie dlya vuzov.* – M.: Nedra, 1989, 432 s.
  4. *IEC 60584-1:2013 Thermocouples – Part 1: EMF specifications and tolerances*, pp. 6-8.
  5. *Oleynik B.N., Lazdina S.I., Lazdin V.P., Zhagullo O.M. Pribory i metody temperaturnykh izmereniy.* – M.: Izd-vo ndartov, 1987, 296 s.
  6. *Thomas D. McGee – Principles and Methods of Temperature Measurement*, John Wiley & Sons, 2014, p. 195.
  7. *Michalski L., Eckersdorf K., Kurcharski J., McGhee J. Temperature measurement*, John Wiley & Sons, 2001, 316.
  8. *Grazia Lamanna, Christoph Steinhausen. On the Importance of Kinetic Effects in the Modelling of Droplet Evaporation at High Pressure and Temperature Conditions.* 2020, p. 272.
  9. *Robert F. Speyer (2012). Thermal Analysis of Materials. Materials Engineering*, 2007, p. 8.
  10. *Thomas W. Leland, Jr., G.A. Mansoori (ed.). Basic Principles of Classical and Statistical Thermodynamics*, 2005, 145.